

# کاربرد برنامه‌ریزی خطی فازی در بهینه سازی بارزداشی و جایه‌جایی تولید

رحمت‌الله هوشمند<sup>\*</sup>، حسین سیفی<sup>\*\*</sup> و ولی‌الله طحانی<sup>\*\*\*</sup>

دانشکده مهندسی، دانشگاه شهید چمران

دانشکده فنی، دانشگاه تربیت مدرس

دانشکده برق و کامپیوتر، دانشگاه صنعتی اصفهان

(دریافت مقاله: ۱۳۷۴/۷/۳ - دریافت نسخه‌نهایی: ۱۳۷۵/۳/۲۲)

چکیده - در این مقاله روش مناسبی برای کنترل شرایط اضطراری سیستم‌های قدرت ارائه می‌شود. بدین منظور و بر اساس یک روش جدید، مبنی بر برنامه‌ریزی خطی فازی، بهینه‌سازی بارزداشی به همراه جایه‌جایی تولید<sup>۱</sup> (LSGR) ارائه شده است. تابع هدف این مسئله بهینه‌سازی، از مقادیر کاهش بارهای سیستم و جایه‌جایی تولید نیروگاهها تشکیل شده است. قیدهای مسئله مذکور، محدودیتهای حاکم بر متغیرهای سیستم قدرت‌اند. با توجه به عدم قطعیت ضریبهای تابع هدف و قیدهای، و همچنین دقیق نبودن اکثر کرانه‌های بالا و پایین متغیرها، استفاده از برنامه ریزی خطی فازی منطقی‌تر به نظر می‌رسد. با در نظر گرفتن فرکانس شبکه به عنوان یک متغیر اساسی و استفاده از مدل بارهای الکتریکی، مسئله بهینه سازی مورد نظر بر اساس روش بهینه سازی فازی حل شده است. نتایج حالت‌های مختلف بهینه سازی قطعی<sup>۲</sup> و فازی<sup>۳</sup> مسئله مذکور که حاصل شبهه سازی بر روی یک سیستم نمونه است ارائه شده است. مشاهده می‌شود که با استفاده از روش بهینه‌سازی فازی از یک طرف، به مدل واقعی سیستمهای قدرت نزدیک‌تر شده و از طرف دیگر، مقدار تابع هدف نسبت به روش بهینه‌سازی قطعی کاهش می‌یابد.

## Application of Fuzzy Linear Programming in Optimal Load Shedding and Generation Reallocation Problem

R. Hooshmand, H. Seifi, and V. Tahani

Department of Electrical Engineering, Shahid Chamran University, Ahvaz

Department of Electrical Engineering, Tarbiat Modarres University, Tehran

Department of Electrical and Computer Engineering, Isfahan University of Technology

**ABSTRACT-** In this article, an effective method to control a power system during emergency conditions is presented. Based on Fuzzy Linear Programming (FLP), a new technique is developed to solve the Load Shedding and Generation Reallocation (LSGR) optimization problem. The objective function consists of terms of load curtailments and deviations in generation schedules. The constraints are power system variables

\* استادیار    \*\* دانشیار    \*\*\* دانشیار

فهرست علامت	
ولتاژ ثابت	اندازه ولتاژ شین نام
درصد کل بار وابسته به قدرت ثابت	اندازه ولتاژ نامی شین نام
ضریب مشخصات فرکانس هر بار	مقدار تپ ترانسفورماتور نام
ضریبهاي ثابت تابع هدف بيشينه اختلاف زاويه ولتاژ شينهاي آن ج	فرکانس شبکه
اپراتور تغييرات جزئي	تعداد شينهاي شبکه
مقدار كمينه هر متغير	تعداد زنراتورهاي شبکه
مقدار بيشينه هر متغير	اندازه و زاويه عضو آزاد
Pp , qp	ماترييس ادميتانس
kp , kq	درصد کل بار وابسته به
ai, bi, ci, di	اميدانس ثابت
$\Psi_{ij}^{max}$	درصد کل بار وابسته به
$\Delta$	اميدانس ثابت
min	بار در شينهاي شبکه
max	درصد کل بار وابسته به
V <sub>i</sub>	توان اكتيو و راكتيو توليدی
V <sub>LBi</sub>	يک ژنراتور
$\delta_i$	توان اكتيو و راكتيو هر بار در
t <sub>i</sub>	شينهاي شبکه
F	توان اكتيو و راكتيو تزريقي
NB	در هر شين
NG	توان اكتيو و راكتيو تنظيم
Y <sub>ij</sub> , $\theta_{ij}$	شد هر ژنراتور
P <sub>Z</sub> , q <sub>Z</sub>	توان اكتيو و راكتيو نامي هر
P <sub>c</sub> , q <sub>c</sub>	بار در شينهاي شبکه
	توان اكتيو نامي هر ژنراتور
	ضريب تنظيم هر ژنراتور
	R

*limitations. The objective function and constraints coefficients are uncertain, thus it is more appropriate to use fuzzy linear programming. Considering the network frequency as an essential variable, and using the electrical load model, a fuzzy environment is prepared to solve more realistically and successfully the LSGR optimization problem . The results of various cases of fuzzy and crisp modes of the problem are demonstrated. It will be observed that the application of the FLP on one hand, will provide a more realistic model of power systems, and on the other hand, will cause a reduction in the values of the objective function.*

محاسبات است. در مراجع [۱-۵] کنترل فرکانس به عنوان یک متغير اساسی در روند بهینه سازی مطرح نشده است. همچنین مدل بارهای الکتریکی در مراجع [۱،۳-۶] در نظر گرفته نشده است. اما علاوه بر این مسائل، همه روش‌های قبل دارای مشکلات مشترکی‌اند. یکی از این مشکلات، مشخص نبودن مقدار دقیق ضربهای تابع هدف است که هیچ معیار کلی و دقیقی برای انتخاب این ضربهای وجود ندارد. به عبارت روشنتر، برای تصمیم گیرنده بسیار مشکل خواهد بود تا نحوه ارتباط بین مقادیر بارزدایی و جابه‌جایی تولید در تابع هدف را بیان کند. همچنین اکثر کرانه‌های بالا و پایین محدودیتهاي مسئله بهینه سازی، از قطعیت کاملی برخوردار نیستند. به طور نمونه، تعیین دقیق حدود بالا و پایین ولتاژ شینهاي سیستمهای قدرت مشکل است. بنابراین در مدل‌سازی، طبیعی است تا این عدم قطعیت و یا نادقتی حدود را با استفاده از اعداد فازی برطرف کنیم. در نتیجه مناسب است که مسئله بهینه سازی خطی مذکور را به شکل برنامه ریزی خطی فازی، با ضربهای تابع هدف و قیدهای فازی در نظر گرفت و حل کرد.

در این مقاله کاربرد برنامه ریزی خطی فازی برای حل مسئله بهینه سازی بارزدایی و جابه‌جایی تولید همراه با مدل بارهای

## ۱- مقدمه

از جمله مشخصه‌های شرایط اضطراری در سیستمهای قدرت، می‌توان از کاهش فرکانس و ولتاژ شینهاي شبکه، اضافه بار شدن تجهیزات شبکه نظیر خطوط انتقال، ترانشهای قدرت و ژنراتورها نام برد [۱]. یکی از توابع مهم در مراکز دیسپاچینگ<sup>۵</sup>، برای کنترل سیستمهای قدرت در شرایط اضطراری، بارزدایی و جابه‌جایی تولید نیروگاهها است. با توجه به اینکه بارزدایی شبکه باعث نارضایتی مصرف کنندگان و از طرف دیگر، جابه‌جایی در تولید نیروگاهها باعث خروج سیستم از حالت کارکرد اقتصادی می‌شود، بایستی سعی کرد تا میزان بارزدایی و جابه‌جایی تولید به مقدار کمینه خود کاهش یابد. پس می‌توان نتیجه گرفت که مسئله مذکور یک روند بهینه سازی را به همراه خواهد داشت که تابع هدف آن، مقادیر بارزدایی شبکه و جابه‌جایی تولید نیروگاهها، و قیدهای مسئله بهینه سازی مذکور، محدودیتهاي متغیرهای شبکه است. تا کنون روش‌های متفاوتی برای حل قطعی مسئله بارزدایی و جابه‌جایی تولید ارائه شده است [۱-۵]. در بعضی از روش‌های قبلی [۶-۲] بااستفاده از برنامه ریزی غیر خطی، مسئله مورد نظر مدل شده است که این، خود مستلزم حجم زیاد و زمان طولانی

ارائه شده است که همان مشکلات روش ارائه شده در مرجع [۱۱] را به همراه دارد. اما روش مناسبی در سال ۱۹۹۱ در مرجع [۶] ارائه شده است که مدل MFLP را با کلیه ضریب‌های فازی، برای قیدهای مساوی و نامساوی حل کرده است. در این روش، برخلاف کلیه روش‌های قبلی، تعداد قیدهای نامساوی مدل مذکور ثابت باقی مانده ولی قیدهای تساوی فازی، به دو برابر آن در مدل نهایی تبدیل شده است. در این مقاله، این روش با جزئیات بیشتری بیان می‌شود. در بخش پنجم هم، روش حل جدیدی برای مسئله LSGR و بر پایه برنامه‌ریزی خطی فازی مذکور ارائه می‌شود و برتریها و مزایای این روش نسبت به حل قطعی آن بیان خواهد شد.

**۳ - برنامه‌ریزی خطی فازی با توابع هدف چندگانه**  
همانگونه که در بخش قبلی اشاره شد، در این مقاله مسئله بارزدایی و جابه‌جایی تولید بر اساس روش‌های بهینه‌سازی قطعی و فازی مطالعه می‌شود. با توجه به اینکه در مرجع [۶] روش مناسبی برای بهینه‌سازی فازی بیان شده است در این بخش، خلاصه این روش ارائه می‌شود.

### ۱-۳- ارائه مدل مورد نظر

در ابتدا مدل مطلوب را به صورت زیر در نظر می‌گیریم:

$$\begin{array}{ll} \text{Min}_X & \tilde{Z}_j = \tilde{C}_j \cdot X \quad j = 1, \dots, K \\ & \text{به طوری که} \\ (I) & \left\{ \begin{array}{ll} \tilde{a}_i \cdot X \leq \tilde{b}_i & i = 1, \dots, m \\ \tilde{a}_i \cdot X = \tilde{b}_i & i = m+1, \dots, n \end{array} \right. \end{array}$$

که در رابطه فوق، بردار  $X$  بیانگر بردار  $L$  بعدی متغیرهای تصمیم گیری، بردارهای  $\tilde{C}_k$  تا  $\tilde{C}_K$  بردارهای ضریب‌های توابع هدف  $\tilde{Z}_1$  تا  $\tilde{Z}_K$ ، بردار  $\tilde{a}_i$ ،  $i$  امین سطر از ماتریس ضریب‌های قیدها و نهایتاً  $\tilde{b}_i$  هم اعداد فازی سمت راست قیدهایست. ضریب‌های رابطه (۱) اعداد فازی ذوزنقه‌ای هستند. در حالت کلی، یک عدد فازی ذوزنقه‌ای  $m$  به صورت چهارتایی ( $m^L, m^U, \sigma_m^L, \sigma_m^U$ ) مشخص می‌شود که پارامترهای آن بیانگر تابع عضویت ذوزنقه‌ای<sup>۷</sup>، طبق شکل (۱)

الکترونیکی، تغییرات فرکانس شبکه و دیگر قیدهای اساسی شبکه ارائه می‌شود. به این منظور در ابتدای بخش دوم، روش‌های برنامه‌ریزی خطی فازی به طور اجمالی بررسی می‌شود. در بخش سوم روش مناسب حل مدل‌های برنامه ریزی خطی فازی با کلیه ضریب‌های تابع هدف و قیدهای فازی بیان می‌شود [۶]. در بخش چهارم نحوه تشکیل مسئله بارزدایی و جابه‌جایی تولید ارائه می‌شود. دلایل استفاده از برنامه‌ریزی خطی فازی همراه با چگونگی استفاده از روش بهینه‌سازی فازی (ارائه شده در بخش سوم) در مسئله مذکور، در بخش پنجم بیان می‌شود. نهایتاً در بخش ششم، نتایج شبیه‌سازی مدل‌های برنامه ریزی خطی قطعی و فازی بر روی یک سیستم آزمون با یکدیگر مقایسه شده است. مشاهده می‌شود که مقدار تابع هدف در روش بهینه‌سازی فازی از روش بهینه‌سازی قطعی کمتر است. علاوه بر این، مشخص می‌شود که کاربرد بهینه‌سازی فازی در مسئله بارزدایی و جابه‌جایی تولید اجازه می‌دهد تا مدل واقعی سیستمهای قدرت به نحو مناسبتری تحلیل شود.

### ۲ - مروری سریع بر روش‌های برنامه‌ریزی خطی فازی (MFLP)

بعد از ارائه تئوری مشهور مجموعه‌های فازی [۷]، زاده و بلمن ایده تضمیم گیری در محیط فازی را ارائه دادند [۸] که این مقاله، پایه و اساس کارهای بعدی محققان است که اولین این کارها، توسط آقای زیمرمن [۹] و به منظور بهینه‌سازی فازی و بر اساس برنامه ریزی خطی انجام گرفته است. در این میان، روش‌های متفاوت و متنوعی، در زمینه برنامه‌ریزی خطی با کلیه ضریب‌های فازی ارائه شده است که از آن جمله می‌توان به کارهای [۶ و ۸-۱۲] اشاره کرد. در مرجع [۱۰]، روشی برای حل MFLP با کلیه ضریب‌های فازی ارائه شده که در نهایت مدل به شکل یک برنامه ریزی پارامتری تبدیل شده است. در این روش قیدهای تساوی در مدل در نظر گرفته نشده است. اسلونتسکی [۱۱] روش دیگری را برای حل MFLP ارائه داده است که مشابه روش قبل، قیدهای تساوی در نظر گرفته نشده است. همچنین تعداد قیدهای نامساوی در مدل برنامه‌ریزی نهایی، به دو برابر قیدهای نامساوی مدل فازی تبدیل می‌شود که این روش برای مسائل با قیدهای زیاد، نامناسب است. در سال ۱۹۸۹ در مرجع [۱۲] روش دیگری

از هدست آمده و در نتیجه:

$$\begin{aligned} g_j^{(1)} &= C_j \cdot X^{*(1)}, \dots, g_j^{(j)} = C_j \cdot X^{*(j)}, \\ \dots, g_j^{(K)} &= C_j \cdot X^{*(k)} \end{aligned} \quad (4)$$

که نهایتاً خواهیم داشت:

$$\left\{ \begin{array}{l} \bar{g}_j = g_j^{(j)} \\ g_j^* = \max_{i, i \neq j} (g_j^{(i)}) \\ \sigma_{g_j}^U = \text{درصدی از } \bar{g}_j - g_j^* \quad (\text{معمولًاً } 100\%) \end{array} \right. \quad (5)$$

اکنون با مشخص شدن توابع عضویت آرمان توابع هدف، چگونگی تبدیل قیدهای توابع هدف فازی به قطعی بیان می‌شود.

### ۲-۳- تبدیل قیدهای فازی به قطعی

برای این منظور، ابتدا رابطه نامساوی بین اعداد فازی بیان می‌شود. تا کنون مقایسه‌های مختلفی بین اعداد فازی ارائه شده است [۹-۱۲]، که در اینجا یکی از روش‌های مناسب بیان می‌شود. برای این منظور فرض کنید که:

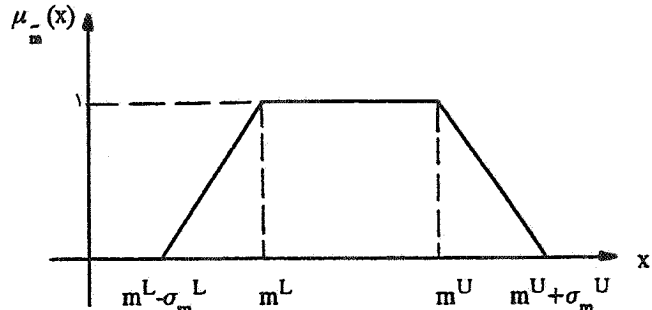
$$\tilde{a} = (a^L, a^U, \sigma_a^L, \sigma_a^U) \quad (6)$$

$$\tilde{b} = (b^L, b^U, \sigma_b^L, \sigma_b^U) \quad (7)$$

اکنون برای بیان رابطه نامساوی بین اعداد فازی  $\tilde{a}$ ،  $\tilde{b}$  و با توجه به شکل (۲) بایستی مقدار  $hgt(\inf \tilde{b} \cap \sup \tilde{a})$  را تعريف کرد. تعريف ۱: مقدار  $hgt$ ، معرف بیشترین مقدار از اشتراک سمت چپ افزایشی<sup>۹</sup> تابع عضویت  $\tilde{b}$ ، با سمت راست کاهشی<sup>۱۰</sup> از تابع عضویت  $\tilde{a}$  است که به صورت زیر محاسبه می‌شود:

$$\begin{aligned} hgt(\inf \tilde{b} \cap \sup \tilde{a}) &= \max \left\{ \frac{a^U - b^L}{\sigma_a^U + \sigma_b^L} + 1, 0 \right\} \\ &= \begin{cases} \geq 1 & \text{if } a^U \geq b^L \\ \leq 1 & \text{if } a^U \leq b^L \end{cases} \end{aligned} \quad (8)$$

تعريف ۲: درجه امکان غالب بودن<sup>۱۱</sup> (PD) عدد فازی  $\tilde{a}$  به



شکل ۱ - تابع عضویت ذوزنقه‌ای عدد فازی  $\tilde{m}$

است. در صورتی که  $m^L = m^U = m$  باشد آنگاه تابع عضویت مذکور بیانگر تابع عضویت عدد فازی مثلثی خواهد بود. همچنین باستی برای هر تابع هدف، یک آرمان<sup>۸</sup> بیان شود که با توجه به دقیق نبودن این مقدار، آن را به صورت عدد فازی و به شکل زیر می‌توان در نظر گرفت:

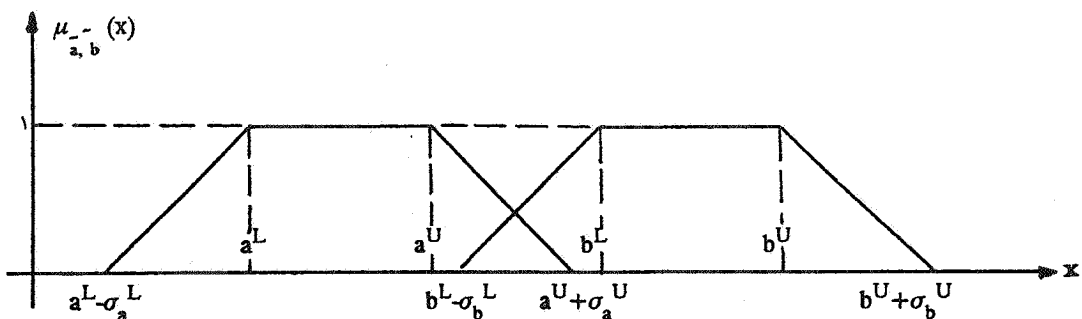
$$\tilde{g} = (\bar{g}_j, \bar{g}_j, 0, \sigma_{\tilde{g}_j}^U) \quad (2)$$

با توجه به اینکه هدف، کمینه کردن مقداری تابع هدف است، حد پایین عدد فازی  $\tilde{g}_j$  صفر است. در صورتی که تصمیم گیرنده‌تواند پارامترهای آرمانهای فازی را معین کند، باستی مقداری  $\bar{g}_j$  و  $\sigma_{\tilde{g}_j}^U$  را به گونه‌ای دیگر محاسبه کرد. برای این منظور، باستی هر تابع هدف از مدل رابطه (۱) را با ضریبهای متوسط  $(c_{jl}^L, c_{jl}^U)$  و قیدهای (I) کمینه کرد که نهایتاً مقدار تابع هدف  $\tilde{g}_j$  معرف  $\bar{g}_j$  خواهد بود. همچنین  $\sigma_{\tilde{g}_j}^U$  هم درصدی از اختلاف  $\bar{g}_j - g_j^*$  (معمولًاً ۱۰۰٪ انتخاب می‌شود [۹]) در نظر گرفته می‌شود که  $g_j^*$  معرف مقدار بیشینه تابع هدف  $\tilde{g}_j$  به ازای کلیه حلها مختلف K تابع هدف است. برای دستیابی به این منظور، ابتدا باستی K مدل برنامه ریزی فازی زیر را با ضریبهای قطعی تابع هدف حل کرد:

$$\min_X g_j = C_j \cdot X$$

$$(I) \begin{cases} \tilde{a}_i \cdot X \leq \tilde{b}_i & i = 1, \dots, m \\ \tilde{a}_i \cdot X = \tilde{b}_i & i = m+1, \dots, n \end{cases} \quad \text{به طوری که}$$

که با حل K مدل فوق، مجموعه جوابهای  $X^{*(j)}$



شکل ۲ - توابع عضویت اعداد فازی  $a$ ,  $b$

که  $\circ$  بیانگر اپراتور عملکرد ضرب فازی است. در نهایت می‌توان قیدهای (I) را به شکل قطعی زیر تبدیل کرد:

$$\begin{aligned} \tilde{a}_i \cdot X \leq \theta \tilde{b}_i &\Rightarrow \sum_i [a_{il}^L - (1-\theta) \cdot \sigma_{al}^L] \cdot x_e \\ &\leq b_i^U + (1-\theta) \cdot \sigma_{bl}^U \quad (15) \end{aligned}$$

اما برای درجه صدقیت  $\theta$  ( $0 \leq \theta \leq 1$ ) می‌توان نوشت:

$$\tilde{a}_i \cdot X \approx_\theta \tilde{b}_i \Rightarrow \begin{cases} \sum_i [a_{il}^U + (1-\theta) \cdot \sigma_{al}^U] \cdot x_e \\ \geq b_i^L - (1-\theta) \cdot \sigma_{bl}^L \\ \sum_i [a_{il}^L - (1-\theta) \cdot \sigma_{al}^U] \cdot x_e \\ \leq b_i^U + (1-\theta) \cdot \sigma_{bl}^U \end{cases} \quad (16)$$

۳ - ۳ - تبدیل تابع هدف فازی به قطعی و مدل نهایی  
برای هر یک از توابع هدف، مشابه رابطه (۱۴) می‌توان نوشت:

$$\begin{aligned} \text{Min } \tilde{C}_j \cdot X &= \sum_i \tilde{c}_{jl} \cdot x_l = (\sum_i c_{jl}^L \cdot x_l, \sum_i c_{jl}^U \cdot x_l, \\ &\quad \sum_i \sigma_{cl}^L \cdot x_l, \sum_i \sigma_{cl}^U \cdot x_l) \quad (17) \end{aligned}$$

که در ارتباط با هر یک از توابع هدف مذکور، یک آرمان فازی  $\tilde{C}_j$  (به دست می‌آید که تابع عضویت آن همراه با تابع عضویت  $X$  و به منظور کمینه سازی تابع هدف، در شکل (۳) آورده شده است).

اکنون با توجه به شکل (۳) می‌توان گفت که بهترین تطابق بین توابع هدف و آرمانهای مربوطه هنگامی است که درجه غالب بودن زیر پیشینه شود:

شکل زیر تعریف می‌شود [۱۳]:

$$\begin{aligned} PD(\tilde{a}, \tilde{b}) &= \max_{x,y} \min_{x \geq y} [\mu_{\tilde{a}}(x), \mu_{\tilde{b}}(y)] \\ &= \min [1, hgt(\inf \tilde{b} \cap \sup \tilde{a})] \quad (18) \end{aligned}$$

اما برای درجه صدقیت  $\theta$  ( $0 \leq \theta \leq 1$ ) می‌توان نوشت:

$$\tilde{a} \leq_\theta \tilde{b} \quad \text{iff} \quad PD(\tilde{a}, \tilde{b}) \leq \theta \quad (19)$$

$$\begin{aligned} \tilde{a} \approx_\theta \tilde{b} \quad \text{iff} \quad PD(\tilde{a}, \tilde{b}) \geq \theta \\ \tilde{b} \geq_\theta \tilde{a} \quad \text{iff} \quad PD(\tilde{b}, \tilde{a}) \geq \theta \end{aligned} \quad (20)$$

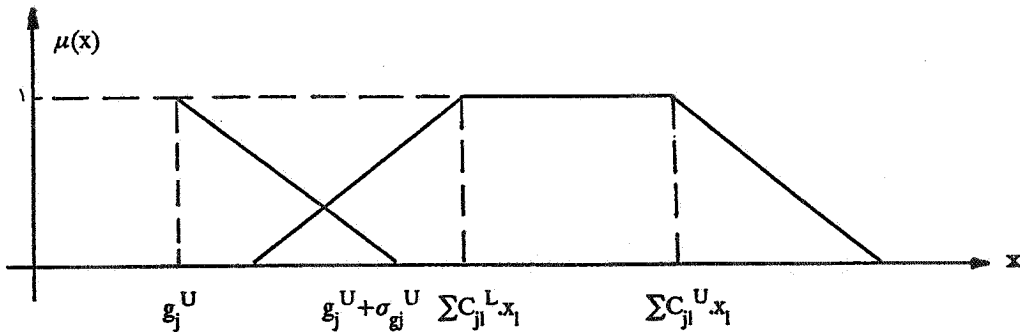
اکنون با استفاده از محاسبه مقدار  $(\inf \tilde{b} \cap \sup \tilde{a})$  و درجه صدقیت  $\theta$  به روابط نهایی زیر خواهیم رسید:

$$\tilde{a} \leq_\theta \tilde{b} \quad \text{iff} \quad a^L - (1-\theta) \cdot \sigma_a^L \leq b^U + (1-\theta) \cdot \sigma_b^U \quad (21)$$

$$\tilde{a} \approx_\theta \tilde{b} \quad \text{iff} \quad \begin{cases} b^U + (1-\theta) \cdot \sigma_b^U \geq a^L - (1-\theta) \cdot \sigma_a^L \\ a^U + (1-\theta) \cdot \sigma_a^U \geq b^L - (1-\theta) \cdot \sigma_b^L \end{cases} \quad (22)$$

حال با استفاده از روابط (۲۱) و (۲۲) می‌توان قیدهای مدل برنامه ریزی خطی (I) ارائه شده در رابطه (۱) را به قیدهای قطعی تبدیل کرد. برای این منظور می‌توان نوشت:

$$\begin{cases} \tilde{a}_i \cdot X = \sum_l \tilde{a}_{il} \cdot x_l = \tilde{a}_{i1} \odot x_1 + \dots + \tilde{a}_{il} \odot x_l = \\ = (\sum_l a_{il}^L \cdot x_l, \sum_l a_{il}^U \cdot x_l, \sum_l \sigma_{al}^L \cdot x_l, \\ \sum_l \sigma_{al}^U \cdot x_l) \end{cases} \quad (23)$$



شکل ۳ - تابع عضویت تابع هدف و آرمان آن

$$Y = \frac{X}{\sum_l c_{jl}^L \cdot x_l + \sigma_{gj}^U} \quad (21)$$

$$t = \frac{1}{\sum_l c_{jl}^L \cdot x_l + \sigma_{gj}^U} \quad (22)$$

تبديل به مدل برنامه‌ریزی خطی با پارامتر  $\theta$  به صورت زیر خواهد شد:

$$\begin{aligned} \text{Min} \quad & \sum_l c_{jl}^L \cdot y_l - \bar{g}_j \cdot t \quad j = 1, \dots, k \\ \sum_l \left[ a_{il}^U + (1 - \theta) \cdot \sigma_{a_{il}}^U \right] \cdot y_l & \quad \text{به طوری که،} \\ - \left[ b_i^L - (1 - \theta) \cdot \sigma_{b_i}^L \right] \cdot t \geq 0 & \quad i = m+1, \dots, n \\ \sum_l \left[ a_{il}^L - (1 - \theta) \cdot \sigma_{a_{il}}^L \right] \cdot y_l & \\ - \left[ b_i^U + (1 - \theta) \cdot \sigma_{b_i}^U \right] \cdot t \leq 0 & \quad i = 1, \dots, n \\ \sum_l \sigma_{c_{jl}}^L \cdot y_l + \sigma_{gj}^U \cdot t & = 1 \end{aligned} \quad (23)$$

در نهایت می‌توان گفت که با حل مسئله برنامه‌ریزی خطی فوق، مدل برنامه ریزی خطی فازی ارائه شده در رابطه (۱) قابل حل خواهد بود.

۴ - بهینه سازی قطعی بارزداشی و جابه‌جایی تولید همان‌گونه که در مقدمه عنوان شد، مسئله LSGR یک مسئله بهینه سازی خطی است که قیدهای متعددی را شامل می‌شود. تابع هدف این مسئله، مجموعه‌ای از تغییرات در تولید نیروگاهها و

$$PD(\tilde{g}_j, \tilde{C}_j \cdot X) = h_j = 1 + \frac{\bar{g}_j - \sum_l c_{jl}^L \cdot x_l}{\sigma_{gj}^U + \sum_l c_{jl}^L \cdot x_l} \quad (18)$$

این به آن معناست که می‌توان مدل برنامه‌ریزی فازی رابطه (۱) را به شکل زیر تبدیل کرد:

$$\text{Max} \quad PD(\tilde{g}_j, \tilde{C}_j \cdot X) \quad j = 1, \dots, K$$

$$(I) \quad \begin{cases} PD(\tilde{a}_i \cdot X, \tilde{b}_i) \geq \theta & i = m+1, \dots, n \\ PD(\tilde{b}_i, \tilde{a}_i \cdot X) \geq \theta & i = 1, \dots, n \end{cases} \quad (19)$$

و با درنظر گرفتن درجه صدقیت  $\theta$  و با استفاده از شکل (۳) و روابط (۱۵) و (۱۶)، نهایتاً خواهیم داشت:

$$\text{Min} \quad \frac{\sum_l c_{jl}^L \cdot x_l - \bar{g}_j}{\sum_l c_{jl}^L \cdot x_l + \sigma_{gj}^U} \quad j = 1, \dots, K$$

به طوری که،

$$\begin{aligned} \sum_l \left[ a_{il}^U + (1 - \theta) \cdot \sigma_{a_{il}}^U \right] \cdot x_l & \geq b_i^L \\ - (1 - \theta) \cdot \sigma_{b_i}^L & \quad i = m+1, \dots, n \end{aligned}$$

$$\begin{aligned} \sum_l \left[ a_{il}^L - (1 - \theta) \cdot \sigma_{a_{il}}^L \right] \cdot x_l & \leq b_i^U \\ + (1 - \theta) \cdot \sigma_{b_i}^U & \quad i = 1, \dots, n \end{aligned} \quad (20)$$

که این مدل برنامه ریزی کسری<sup>۱۳</sup>، با دو تغییر متغیر ساده زیر:

$$0 \leq \Delta P_i^{\prime} \leq (1 - \gamma_i) \cdot |\Delta P_i^{\min}| \quad (28)$$

$$0 \leq \Delta P_i^{\prime\prime} \leq \gamma_i \cdot |\Delta P_i^{\min}| \quad (29)$$

$$0 \leq \Delta P_i^{\prime\prime\prime} \leq \beta_i \cdot \Delta P_i^{\max} \quad (30)$$

$$0 \leq \Delta P_i^{\prime\prime\prime\prime} \leq (1 - \beta_i) \cdot \Delta P_i^{\max} \quad (31)$$

لازم به ذکر است که در شکل (۴)،  $\Delta P_i$  معرف متغیرهای  $\Delta PG_i$ ،  $\Delta PL_i$ ،  $\Delta QG_i$ ،  $\Delta QL_i$  است و  $\alpha_i$ ،  $a_i$ ،  $b_i$ ،  $c_i$  و  $d_i$  است. به راحتی می‌توان اثبات کرد که بهترین تقریب خطی در شکل (۴)، هنگامی است که  $\beta_i = \alpha_i / 5 = 0.5$  باشد.

#### ۴ - تشکیل محدودیتهای بهینه سازی

کمینه کردن شکل خطی شده تابع هدف (۲۵) با در نظر گرفتن محدودیتهای زیر انجام می‌شود:

الف) محدودیت توان اکتیو و راکتیو ژنراتورها: توان اکتیو خروجی ژنراتورها توسط پاسخ گاورنر تعیین می‌شود که می‌توان آن را به صورت زیر نشان داد:

$$PG_i = PG_{set_i} - \frac{P_{R_i}}{R_i} \cdot \Delta F \quad (32)$$

که در نتیجه توان اکتیو و راکتیو ژنراتورها به صورت زیر محدود می‌شوند:

$$PG_i^{\min} \leq PG_i \leq PG_i^{\max} \quad (33)$$

$$QG_i^{\min} \leq QG_i \leq QG_i^{\max} \quad (34)$$

ب) محدودیت بارهای مصرفی: اکثر بارهای یک سیستم قدرت، داری مشخصه‌هایی هستند که به فرکانس و ولتاژ سیستم بستگی دارند و در نتیجه مدل بارهای مذکور را می‌توان به صورت زیر در نظر گرفت [۱۴]:

$$\begin{aligned} PL_i &= PL_{set_i} \cdot (1 + k_{p_i} \cdot \Delta F) \cdot \left[ p_{p_i} + p_{c_i} \cdot \left( \frac{V_i}{V_{LB_i}} \right)^N \right. \\ &\quad \left. + p_{z_i} \cdot \left( \frac{V_i}{V_{LB_i}} \right)^M \right] \end{aligned} \quad (35)$$

بارهای مصرفی است که با ضرایبها ی با یکدیگر ترکیب می‌شوند. قیدهای این مسئله هم، شامل محدودیتهای توان اکتیو و راکتیو ژنراتورها و بارها، محدودیتهای ولتاژ و فرکانس شبکه، محدودیتهای پایداری خطوط انتقال، قیدهای پخش بار شبکه و محدودیتهای تپ ترانسها، همراه با مدل بارهای الکتریکی است.

#### ۴ - ۱ - تشکیل تابع هدف بهینه سازی

با توجه به اینکه هدف، بهینه سازی مقادیر کاوش بارهای سیستم و جایه‌جایی تولید نیروگاه‌هاست، در نتیجه در حالت کلی تابع هدف زیر در نظر گرفته می‌شود:

$$J = \sum_{i=1}^{NG} g_i (\Delta PG_i, \Delta QG_i) + \sum_{i=1}^{NB} l_i (\Delta PL_i, \Delta QL_i) \quad (24)$$

که در رابطه فوق، جمله اول به منظور کمینه کردن میزان جایه‌جایی در تولید نیروگاه‌ها و جمله دوم، مبنی مقادیر بارزدایی در توان اکتیو و راکتیو بارهای است. یکی از بهترین توابع هدف، تابع هدف درجه دوم [۱۴] است [۴، ۱]، که در نتیجه خواهیم داشت:

$$\begin{aligned} J &= \sum_i a_i \cdot \Delta PG_i^2 + \sum_i b_i \cdot \Delta QG_i^2 \\ &\quad + \sum_i c_i \cdot \Delta PL_i^2 + \sum_i d_i \cdot \Delta QL_i^2 \end{aligned} \quad (25)$$

با توجه به اینکه تابع هدف مذکور، برای برنامه ریزی خطی مناسب نیست، در نتیجه می‌توان با استفاده از تقریب چهار تکه خطی مطابق شکل (۴) به تابع هدف خطی رسید. به این منظور، هر جزء از رابطه (۲۵) که به صورت  $\alpha_i \cdot \Delta P_i^2$  است،  $\Delta P_i''$ ،  $\Delta P_i'''$  و  $\Delta P_i''''$  است. در نتیجه جزء  $\alpha_i \cdot \Delta P_i^2$  (بر اساس شکل (۴)) به صورت خطی شده

$$\rho_{i_1} \cdot \Delta P_i^{\prime} + \rho_{i_2} \cdot \Delta P_i^{\prime\prime} + \rho_{i_3} \cdot \Delta P_i^{\prime\prime\prime} + \rho_{i_4} \cdot \Delta P_i^{\prime\prime\prime\prime} \quad (26)$$

تغییر می‌کند که:

$$\Delta P_i = \Delta P_i^{\prime\prime\prime} + \Delta P_i^{\prime\prime\prime\prime\prime} - \Delta P_i^{\prime} - \Delta P_i^{\prime\prime} \quad (27)$$

و همچنین

$$Q_i(V, \delta) = V_i \cdot \sum_{j=1}^{NB} V_j \cdot Y_{ij} \cdot \sin(\delta_i - \delta_j - \theta_{ij}) \quad (42)$$

د) محدودیت ولتاژ شینهای شبکه: ولتاژ شینهای شبکه بایستی در محدوده زیر قرار گیرند:

$$V_i^{\min} \leq V_i \leq V_i^{\max} \quad (43)$$

ه) حد تغییرات فرکانس شبکه: با توجه به مهم بودن تغییرات فرکانس شبکه، بایستی داشته باشیم:

$$F^{\min} \leq F \leq F^{\max} \quad (44)$$

و) محدودیت تپ ترانسها: تپ ترانسها در یک محدوده مشخصی قابل تغییر است. در نتیجه:

$$t_i^{\min} \leq t_i \leq t_i^{\max} \quad (45)$$

ز) حد پایداری خطوط انتقال: این قید بر روی خطوط انتقال بسیار مهم است و به صورت زیر نمایش داده می شود:

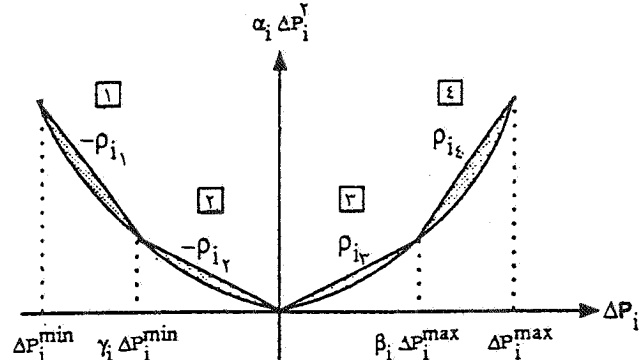
$$0 \leq |\delta_i - \delta_j| \leq \Psi_{ij}^{\max} \quad (46)$$

#### ۴-۳- ارائه مدل کامل خطی شده مسئله LSGR

در بخش ۴-۱ نحوه خطی سازی تابع هدف را بیان کردیم، ولی محدودیتهای ارائه شده در بخش ۲-۴ مناسب برای برنامه ریزی خطی نیستند. به عبارت دیگر، قیدهای روابط (۳۹)، (۴۰) و (۴۶) به شکل غیر خطی هستند و سایر قیدها هم به شکل مناسب نیستند. با توجه به معلوم بودن مقدارهای اولیه متغیرهای شبکه تغییرات متغیرهای شبکه را به صورت  $(F^\circ, t_i^\circ, \delta_i^\circ, V_i^\circ, QL_i^\circ, PG_i^\circ)$  می توان برآورد کرد. در نظر گرفت که مناسب برای برنامه ریزی خطی آن دارد. در نتیجه مدل نهایی را می توان به شکل زیر به دست آورد:

Min خطی شده تابع هدف معادله (۲۵)

$$PG_i^{\min} - PG_i^\circ \leq \Delta PG_i \leq PG_i^{\max} - PG_i^\circ$$



شکل ۴ - خطی سازی تابع هدف درجه دوم

$$\begin{aligned} QL_i = & QL_{set_i} \cdot (1 + k_{q_i} \cdot \Delta F) \cdot \left[ q_{p_i} + q_{c_i} \cdot \left( \frac{V_i}{V_{LB_i}} \right)^N \right. \\ & \left. + q_{z_i} \cdot \left( \frac{V_i}{V_{LB_i}} \right)^M \right] \end{aligned} \quad (36)$$

که در مدل مذکور، هر باری را می توان ترکیبی از بار با قدرت ثابت، امپدانس ثابت، و بار مناسب با توان N ام ولتاژ (عموماً با توان یکم) و وابسته به فرکانس در نظر گرفت. نهایتاً خواهیم داشت:

$$PL_i^{\min} \leq PL_i \leq PL_i^{\max} \quad (37)$$

$$QL_i^{\min} \leq QL_i \leq QL_i^{\max} \quad (38)$$

ج) روابط پخش بار شبکه: با توجه به شرایط اضطراری، معرفی کردن مشخصه های فرکانسی در روابط پخش بار ضروری به نظر می رسد. برای رسیدن به نقطه تعادل در هر شین  $i$ ، بایستی روابط زیر تأمین شوند:

$$PG_i(F) - PL_i(V, F) - P_i(V, \delta) = 0 \quad (39)$$

$$QG_i - QL_i(V, F) - Q_i(V, \delta) = 0 \quad (40)$$

که در این دو رابطه،  $(V, \delta)$  و  $P_i(V, \delta)$  به صورت زیر محاسبه می شوند:

$$P_i(V, \delta) = V_i \cdot \sum_{j=1}^{NB} V_j \cdot Y_{ij} \cdot \cos(\delta_i - \delta_j - \theta_{ij}) \quad (41)$$

ارتباط توانهای اکتیو و راکتیو تولیدی و مصرفی در تابع هدف را بیان کرد. یکی از راههای مؤثر در رفع عدم قطعیت ضریب‌های تابع هدف رابطه (۲۵) (ضریب‌های  $a_i$ ,  $b_i$ ,  $c_i$  و  $d_i$ )، استفاده از اعداد فازی است،  $\tilde{a}_i$ ,  $\tilde{b}_i$ ,  $\tilde{c}_i$  و  $\tilde{d}_i$  با توابع عضویت مربوطه است. درنتیجه برای هر جزء  $\Delta P_i$  با ضریب فازی  $\alpha_i$ ، ضریب‌های  $\rho_{ii}$  تا  $\rho_{i2}$  در رابطه خطی شده (۲۶) به صورت اعداد فازی تبدیل می‌شوند که نحوه بدست آوردن توابع عضویت این ضریبها با استفاده از تابع عضویت  $\tilde{\alpha}_i$  در پیوست (الف) بیان شده است.

ب) در سیستمهای قدرت، اکثر کرانه‌های بالا و پایین محدودیتهای متغیرها را نمی‌توان به طور قطعی و دقیق تعیین کرد. به عنوان مثال، کرانه‌های بالا و پایین ولتاژ شینهای شبکه‌های قدرت از قطعیت کاملی برخوردار نیستند. همچنین اکثر ضریب‌های قیدهای مسئله بهینه سازی که در بخش قبل ارائه شد با عدم قطعیت در مقدار دقیق آنها مواجه‌ایم. این موضوع، تصمیم‌گیرنده را به استفاده از محدودیتهای فازی هدایت می‌کند.

ج) استفاده از الگوریتم فازی در مدل‌های برنامه‌ریزی خطی باعث می‌شود که قابلیت انعطاف پذیری مسئله بیشتر شود و ناحیه قابل قبول<sup>۱۶</sup> حل مسئله افزایش یابد. در نتیجه در مواردی که حل قطعی مسئله، حل قابل قبولی را نداشته باشد، احتمالاً دارای یک حل قابل قبولی در محیط فازی خواهد بود.

در نهایت، با توجه به دلایل فوق، مناسب است که مسئله بهینه سازی بازدایی به همراه جایه‌جایی تولید را بر مبنای برنامه‌ریزی خطی فازی ارائه و حل کنیم. به این منظور، با توجه به اینکه در رابطه (۴۷)، عدم قطعیتی در کلیه ضریب‌های تابع هدف و قیدهای برنامه ریزی، و همچنین اکثر کرانه‌های بالا و پایین محدودیتها وجود دارد، در نتیجه می‌توان مدل مذکور را بر اساس برنامه ریزی خطی رابطه (۲۳) (که ناشی از مدل برنامه‌ریزی خطی فازی است) بیان کرد و با استفاده از روش‌های متداول برنامه ریزی خطی، آن را حل کنیم.

۶ - نتایج شبیه سازی  
روش پیشنهادی در این مقاله، برای بهینه سازی LSGR و بر اساس الگوریتم فازی، بر روی شبکه آزمون شکل (۵) اجرا شده است. کلیه اطلاعات و داده‌های قطعی و فازی متغیرها، اعم از اطلاعات خطوط انتقال، شینها، ژنراتورها، ترانسها و تپ چنجردار،

$$\begin{aligned} QG_i^{\min} - QG_i^{\circ} &\leq \Delta QG_i \leq QG_i^{\max} - QG_i^{\circ} \\ PL_i^{\min} - PL_i^{\circ} &\leq \Delta PL_i \leq PL_i^{\max} - PL_i^{\circ} \\ QL_i^{\min} - QL_i^{\circ} &\leq \Delta QL_i \leq QL_i^{\max} - QL_i^{\circ} \\ V_i^{\min} - V_i^{\circ} &\leq \Delta V_i \leq V_i^{\max} - V_i^{\circ} \\ t_i^{\min} - t_i^{\circ} &\leq \Delta t_i \leq t_i^{\max} - t_i^{\circ} \\ F^{\min} - F^{\circ} &\leq \Delta F \leq F^{\max} - F^{\circ} \\ -\Psi_{ij}^{\max} - \delta_i^{\circ} + \delta_j^{\circ} &\leq \Delta \delta_i - \Delta \delta_j \leq \Psi_{ij}^{\max} - \delta_i^{\circ} + \delta_j^{\circ} \\ \left[ \begin{array}{c} \Delta PG \\ \Delta QG \end{array} \right] - \left[ \begin{array}{c} \Delta PL \\ \Delta QL \end{array} \right] - \left[ \begin{array}{cccc} J_1 & J_2 & J_5 & J_7 \\ J_3 & J_4 & J_6 & J_8 \end{array} \right] \cdot \left[ \begin{array}{c} \Delta \delta \\ \Delta V \\ \Delta F \\ \Delta T \end{array} \right] &= \left[ \begin{array}{c} 0 \\ 0 \end{array} \right] \quad (47) \end{aligned}$$

لازم به ذکر است که محدودیت پایداری خطوط انتقال با استفاده از نحوه خطی سازی رابطه قدر مطلق، و محدودیت پخش بار شبکه با استفاده از جمله اول بسط سری تیلور (حول نقطه کار اولیه شبکه) صورت می‌گیرد که در رابطه مذکور،  $J_1$  تا  $J_8$  زیر ماتریسهای ماتریس ژاکوبین بوده و خواهیم داشت [۱۴]:

$$\begin{aligned} J_1 = \frac{\partial P}{\partial \delta}, \quad J_2 = \frac{\partial P}{\partial V}, \quad J_3 = \frac{\partial Q}{\partial \delta}, \quad J_4 = \frac{\partial Q}{\partial V} \\ J_5 = \frac{\partial P}{\partial F}, \quad J_6 = \frac{\partial Q}{\partial F}, \quad J_7 = \frac{\partial P}{\partial T}, \quad J_8 = \frac{\partial Q}{\partial T} \quad (48) \end{aligned}$$

۵ - محیط فازی<sup>۱۵</sup> مسئله بهینه سازی بازدایی و جایه‌جایی تولید  
در دنیای واقعی مسایل بهینه سازی، بسیاری از قواعد، داده‌های ورودی و همچنین محدودیتهای موجود، به منظور تشکیل مدل‌های برنامه ریزی به شکل قطعی و صریح نیستند. در نتیجه استفاده از خواص و ابزارهای مجموعه‌های فازی بسیار مفید به نظر می‌رسد. به همین منظور، مسئله LSGR هم از این مشکلات مستثنی نیست که می‌توان به موارد زیر اشاره کرد:

(الف) همان‌گونه که در بخش قبل بیان شد، تابع هدف مسئله بهینه سازی مذکور، از متغیرهای بازدایی شبکه و جایه‌جایی تولید نیروگاهها تشکیل شده است که با استی این متغیرها، با ضریب‌های مناسبی به یکدیگر مرتبط شوند. اما برای تصمیم‌گیرنده تعیین دقیق این ضریبها کار بسیار مشکلی است و به راحتی نمی‌توان نحوه

برای رفع این مشکل، الگوریتم بهینه سازی قطعی و فازی جابه‌جایی تولید به اجرا در می‌آید که نتایج پخش بار این دو روش (همراه با مدل بار شین<sup>۶</sup>) در حالت‌های پنجم و ششم بیان شده است. نتایج شبیه سازی این دو روش نشان می‌دهد که سیستم پس از یک مرحله تکرار برنامه ریزی خطی به حالت عادی منتقل می‌شود، ولی مقدار تابع هدف در روش بهینه سازی فازی  $4/524$  است که نسبت به مقدار تابع هدف در روش قطعی ( $4/846$ ) کمتر است.

مثال ۲: در این مثال فرض می‌شود که خط شماره ۶ از مدار خارج شود که مشابه مثال قبل، نتایج پخش بار شبکه، قبل و بعد از وقوع خطا در حالت‌های اول و دوم جدول (۲) آورده شده است. از نتایج پخش بار شبکه (حالت دوم) مشاهده می‌شود که ولتاژ شینهای  $3, 4, 5$  و  $6$ ، اختلاف زاویه (پایداری) خطوط انتقال  $7$  و  $8$ ، فرکانس سیستم، و توان راکتیو شین مبنی از محدوده مجاز خود خارج شده‌اند. مشابه مثال قبل، برای رفع شرایط اضطراری حاکم بر سیستم قدرت، از روش بارزدایی و جابه‌جایی تولید، و بر اساس بهینه سازی قطعی و فازی، استفاده می‌شود که نتایج پخش بار این دو روش در حالت‌های سوم و چهارم جدول (۲) بیان شده است. از نتایج این دو حالت متوجه می‌شویم که در روش قطعی، سیستم قدرت پس از ۳ مرحله تکرار برنامه ریزی خطی، و در روش فازی پس از ۲ مرحله تکرار برنامه ریزی خطی فازی به حالت عادی منتقل می‌شود. همچنین مقدار تابع هدف بهینه سازی فازی  $94/536$  است که نسبت به مقدار مشابه آن در روش قطعی ( $112/535$ ) کمتر است. در نتیجه با استفاده از روش بهینه سازی فازی، میزان انحراف مقادیر تولید نیروگاهها و بارهای سیستم از حالت کارکرد اقتصادی و اولیه خود نسبت به روش قطعی کمتر است.

اکنون، خارج شدن خط ۶ از سیستم مذکور را همراه با مدل بار الکتریکی شین  $5$  با ضربهای مدل ارائه شده در مثال ۱ بررسی می‌کنیم. برای رفع شرایط اضطراری، از روش بارزدایی و جابه‌جایی تولید، و بر اساس بهینه سازی قطعی و فازی، استفاده می‌شود که نتایج پخش بار این دو روش، در حالت‌های پنجم و ششم جدول (۲) آورده شده است. از نتایج این دو حالت مشاهده می‌شود که مقدار تابع هدف در روش بهینه سازی قطعی  $116/983$  است و این در حالی است که با استفاده از روش بهینه سازی فازی، این مقدار به

بارها و ضربهای تابع هدف در پیوست (ب) آورده شده است. خطاهای در نظر گرفته شده در این روش و در یک سیستم الکتریکی، قطع خطوط انتقال، قطع ژنراتور، کاهش تولید نیروگاهها، و افزایش بار مصرفی شینها هستند. در این بخش، دو مثال عددی بیان شده است که نتایج شبیه سازی آنها در جدولهای (۱) و (۲) آورده شده است. در این دو مثال فرض شده است که قبل از وقوع هرگونه خطایی، سیستم در حالت کارکرد اقتصادی است.

مثال ۱: در این مثال فرض می‌شود که در شین شماره ۲، باری با توان راکتیو  $2/0$  پریونیت و ضربی قدرت  $9/0$  پس فاز (توان راکتیو  $1/0$  پریونیت) افزوده شود. برای این منظور، ابتدا پخش بار شبکه قبل از وقوع خطا انجام می‌پذیرد که نتایج آن در حالت اول از جدول (۱) آمده است. با در نظر گرفتن اضافه بار مورد نظر، نتایج پخش بار آن در حالت دوم (از جدول (۱)) بیان شده است و مشاهده می‌شود که ولتاژ شین  $2$  از محدوده مجاز خود خارج شده است. نتایج پخش بار شبکه، که در حالت سوم ارائه شده است نشان می‌دهد که سیستم مذکور، پس از ۲ مرحله تکرار بهینه سازی قطعی جابه‌جایی تولید، به حالت عادی منتقل می‌شود. متوجه می‌شویم که برای رفع این مشکل نیازی به بارزدایی نیست. اما وقتی از بهینه سازی فازی جابه‌جایی تولید استفاده گردد، مشاهده می‌شود که پس از یک مرحله تکرار برنامه ریزی خطی فازی، سیستم به حالت نرمال انتقال می‌یابد. نتایج پخش بار این روش، در حالت چهارم از جدول (۱) آورده شده است. با استفاده از این روش، مقدار تابع هدف بهینه سازی (با ضربهای قطعی)،  $4/721$  است که نسبت به مقدار تابع هدف در روش بهینه سازی قطعی ( $4/737$ ) کمتر است. با توجه به اینکه مقدار تابع هدف در مسئله مذکور، بیانگر میزان انحراف مقادیر تولید نیروگاهها از حالت کارکرد اقتصادی خود است، در نتیجه کاهش این مقدار در روش بهینه سازی فازی بسیار مطلوب است.

اکنون فرض می‌شود که هنگام وقوع اضافه بار مورد نظر، بار شین  $6$  به گونه‌ای است که با تغییر ولتاژ و فرکانس شبکه، مقدار توان راکتیو و راکتیو آن بر اساس مدل بارهای الکتریکی ارائه شده در رابطه‌های (۳۵) و (۳۶) تغییر کند. ضربهای مدل بار مذکور به صورت زیر انتخاب شده است [۱۴]:

$$(49) \quad k_{p,\epsilon} = 0/5, \quad p_{p,\epsilon} = 0/0^3, \quad p_{c,\epsilon} = 0/2, \quad q_{p,\epsilon} = 0/0^3, \quad q_{c,\epsilon} = 0/0^3, \quad q_{z,\epsilon} = 0/0^3, \quad q_{q,\epsilon} = 0/0^3$$

جدول (۱): تابع حالت‌های مختلف مثال ۱ با استفاده از جابه‌جایی تولید قطعی و فازی

حالت ششم بهینه سازی قطعی	حالت پنجم بهینه سازی قطعی	حالت چهارم بهینه سازی فازی	حالت سوم بهینه سازی قطعی	حالت دوم بعد از وقوع خطا	حالات اول قبل از وقوع خطا	مدل بار شین ۶
بله	بله	خیر	خیر	خیر	خیر	توان اکتیو ژنراتور ۱
۰/۴۸۸	۰/۴۸۶	۰/۴۹۲	۰/۴۹۵	۰/۴۹۳	۰/۳۱	توان اکتیو ژنراتور ۱
۰/۸۰۲	۰/۸۰۴	۰/۸۱۱	۰/۷۹۵	۰/۸۰۳	۰/۸۰۰	توان اکتیو ژنراتور ۷
۰/۶۱۶	۰/۶۰۸	۰/۶۱۲	۰/۷۱۲	۰/۶۰۲	۰/۶۰۰	توان اکتیو ژنراتور ۸
۰/۴۰۶	۰/۳۸۳	۰/۴۰۸	۰/۴۵۵	۰/۴۰۱	۰/۴۴۷	توان راکتیو ژنراتور ۱
-۰/۱۲۰	-۰/۱۱۳	-۰/۱۱۹	-۰/۱۲۹	-۰/۱۲۱	-۰/۱۶۵	توان راکتیو ژنراتور ۷
۰/۰۷۱	۰/۰۷۶	۰/۰۷۲	۰/۰۷۳	۰/۰۶۹	-۰/۰۲۸	توان راکتیو ژنراتور ۸
۰/...	۰/...	۰/...	۰/...	۰/...	۰/...	توان اکتیو بار ۱
۰/۳۰۰	۰/۳۰۰	۰/۳۰۰	۰/۳۰۰	۰/۳۰۰	۰/۱۰۰	توان اکتیو بار ۲
۰/۴۵۰	۰/۴۵۰	۰/۴۵۰	۰/۴۵۰	۰/۴۵۰	۰/۴۵۰	توان اکتیو بار ۳
۰/...	۰/...	۰/...	۰/...	۰/...	۰/...	توان اکتیو بار ۴
۰/۳۰۰	۰/۳۰۰	۰/۳۰۰	۰/۳۰۰	۰/۳۰۰	۰/۳۰۰	توان اکتیو بار ۵
۰/۵۰۰	۰/۵۰۰	۰/۵۰۰	۰/۵۰۰	۰/۵۰۰	۰/۵۰۰	توان اکتیو بار ۶
۰/۲۰۰	۰/۲۰۰	۰/۲۰۰	۰/۲۰۰	۰/۲۰۰	۰/۲۰۰	توان اکتیو بار ۷
۰/...	۰/...	۰/...	۰/...	۰/...	۰/...	توان اکتیو بار ۸
۰/...	۰/...	۰/...	۰/...	۰/...	۰/...	توان راکتیو بار ۱
۰/۱۵۰	۰/۱۵۰	۰/۱۵۰	۰/۱۵۰	۰/۱۵۰	۰/۰۵۰	توان راکتیو بار ۲
۰/۱۳۰	۰/۱۳۰	۰/۱۳۰	۰/۱۳۰	۰/۱۳۰	۰/۱۳۰	توان راکتیو بار ۳
۰/...	۰/...	۰/...	۰/...	۰/...	۰/...	توان راکتیو بار ۴
۰/۱۸۰	۰/۱۸۰	۰/۱۸۰	۰/۱۸۰	۰/۱۸۰	۰/۱۸۰	توان راکتیو بار ۵
۰/۰۵۰	۰/۰۵۰	۰/۰۵۰	۰/۰۵۰	۰/۰۵۰	۰/۰۵۰	توان راکتیو بار ۶
۰/۱۰۰	۰/۱۰۰	۰/۱۰۰	۰/۱۰۰	۰/۱۰۰	۰/۱۰۰	توان راکتیو بار ۷
۰/...	۰/...	۰/...	۰/...	۰/...	۰/...	توان راکتیو بار ۸
۱/۰۹۰	۱/۰۷۵	۱/۰۸۵	۱/۱۰۰	۱/۰۹۰	۱/۰۹۰	اندازه ولتاژ شین ۱
۰/۹۸۱	۰/۹۵۰	۰/۹۳۹	۰/۹۵۲	۰/۹۳۹	۱/۰۵۵	اندازه ولتاژ شین ۲
۰/۹۹۱	۱/۰۳۹	۱/۰۰۳	۱/۰۵۲	۰/۹۹۲	۰/۹۸۷	اندازه ولتاژ شین ۳
۱/۰۰۳	۰/۹۸۹	۰/۹۹۹	۱/۰۰۳	۱/۰۰۳	۱/۰۰۳	اندازه ولتاژ شین ۴
۰/۹۸۱	۰/۹۸۱	۰/۹۷۸	۱/۰۰۳	۰/۹۸۲	۰/۹۷۲	اندازه ولتاژ شین ۵
۰/۹۷۵	۰/۹۹۸	۰/۹۷۰	۰/۹۸۰	۰/۹۷۶	۰/۹۷۴	اندازه ولتاژ شین ۶
۱/۰۱۰	۱/۰۰۹	۱/۰۰۷	۱/۱۳	۱/۰۱۰	۱/۰۱۰	اندازه ولتاژ شین ۷
۱/۰۸۱	۱/۱۰۰	۱/۰۸۳	۱/۱۰۰	۱/۰۸۰	۱/۰۸۰	اندازه ولتاژ شین ۸
۰/...	۰/...	۰/...	۰/...	۰/...	۰/...	زاویه ولتاژ شین ۱
۴/۰۳۵	۳/۸۴۱	۳/۹۹۹	۴/۲۱۲	۳/۸۳۶	۱۰/۸۰۲	زاویه ولتاژ شین ۲
-۳/۴۹۶	-۳/۵۴۸	-۳/۵۷۱	-۳/۳۱۷	-۳/۵۹۷	-۱/۳۴۹	زاویه ولتاژ شین ۳
-۱/۵۱۴	-۱/۶۳۴	-۱/۵۶۹	-۱/۴۵۸	-۱/۵۸۰	۰/۳۰۰	زاویه ولتاژ شین ۴
-۷/۰۶۲	-۷/۰۸۷	-۷/۱۹۶	-۷/۷۲۳	-۷/۱۹۸	-۴/۵۹۴	زاویه ولتاژ شین ۵
-۶/۹۵۷	-۷/۰۹۵	-۷/۰۶۵	-۶/۷۳۴	-۷/۰۱۳	-۵/۲۸۲	زاویه ولتاژ شین ۶
۱۳/۰۷۵	۱۲/۹۴۶	۱۳/۲۷۲	۱۳/۰۶۵	۱۲/۹۷۵	۱۶/۷۲۹	زاویه ولتاژ شین ۷
۳/۱۸۷	۲/۷۹۸	۲/۹۰۳	۳/۴۳۸	۲/۸۸۰	۷/۷۲۹	زاویه ولتاژ شین ۸
۴۹/۹۹۴	۴۹/۹۹۷	۴۹/۹۹۸	۴۹/۹۶۷	۴۹/۹۹۲	۵۰/۰۰۰	فرکانس شبکه (HZ)
۱/۰۵۰	۱/۰۵۰	۱/۰۵۰	۱/۰۶۸	۱/۰۵۰	۱/۰۵۰	اندازه تپ ترانس ۱
۱/۱۰۰	۱/۰۷۷	۱/۰۲۰	۱/۰۶۵	۱/۰۰۰	۱/۰۰۰	اندازه تپ ترانس ۲
۱	۱	۱	۲	-	-	تعداد تکرار
۴/۵۲۴	۴/۸۴۶	۴/۷۲۱	۴/۷۳۷	-	-	مقدار تابع هدف
-	-	-	-	ولتاژ شین ۲	-	حالت‌های اضطراری شبکه

جدول (۲): تاییج حالت‌های مختلف مثال ۲ با استفاده از بار زدایی و جابه‌جایی تولید قطعی و فازی

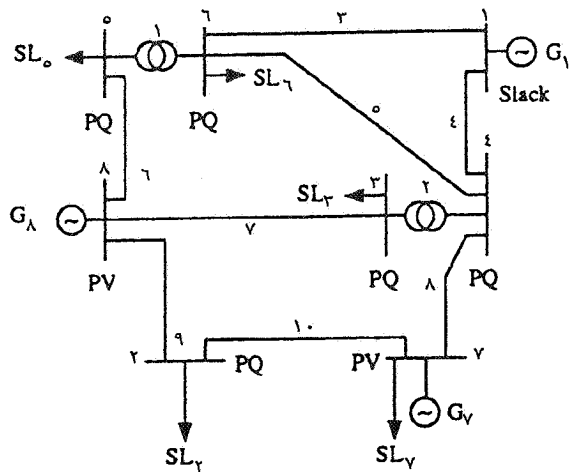
حالت ششم	حالت پنجم	حالت چهارم	حالت سوم	حال دوم	حال اول	
بهینه سازی فازی	بهینه سازی قطعی	بهینه سازی فازی	بهینه سازی قطعی	بعد از وقوع خطا	قبل از وقوع خطا	
بله	بله	خیر	خیر	خیر	خیر	مدل یار شین ۵
.۰/۳۰۰	.۰/۳۰۱	.۰/۳۰۰	.۰/۳۰۰	.۰/۳۵۴	.۰/۳۱۱	توان اکتیو ژنراتور ۱
.۰/۴۷۲	.۰/۳۲۲	.۰/۴۶۴	.۰/۲۵۱	.۰/۹۱۰	.۰/۸۰۰	توان اکتیو ژنراتور ۷
.۰/۵۰۵	.۰/۳۹۱	.۰/۵۰۲	.۰/۳۸۱	.۰/۹۸۳	.۰/۶۰۰	توان اکتیو ژنراتور ۸
.۰/۵۴۸	.۰/۴۰۴	.۰/۵۹۸	.۰/۳۹۲	.۱/۰۶۱	.۰/۴۴۷	توان راکتیو ژنراتور ۱
-۰/۱۱۳	-۰/۱۳۷	-۰/۱۷۹	-۰/۱۷۱	-۰/۱۰۰	-۰/۱۶۵	توان راکتیو ژنراتور ۷
-۰/۱۷۳	-۰/۱۳۲	-۰/۱۷۵	-۰/۰۱۰	.۰/۰۱۷	-۰/۰۲۸	توان راکتیو ژنراتور ۸
.۰/۰۰۰	.۰/۰۰۰	.۰/۰۰۰	.۰/۰۰۰	.۰/۰۰۰	.۰/۰۰۰	توان اکتیو یار ۱
.۰/۱۰۰	.۰/۱۰۰	.۰/۱۰۰	.۰/۰۷۸	.۰/۱۰۰	.۰/۱۰۰	توان اکتیو یار ۲
.۰/۰۰۰	.۰/۰۰۰	.۰/۰۰۰	.۰/۰۰۰	.۰/۴۵۰	.۰/۴۵۰	توان اکتیو یار ۳
.۰/۰۰۰	.۰/۰۰۰	.۰/۰۰۰	.۰/۰۰۰	.۰/۰۰۰	.۰/۰۰۰	توان اکتیو یار ۴
.۰/۲۲۴	.۰/۳۷۰	.۰/۳۰۰	.۰/۲۵۴	.۰/۳۰۰	.۰/۳۰۰	توان اکتیو یار ۵
.۰/۵۰۰	.۰/۲۶۶	.۰/۴۹۸	.۰/۳۰۴	.۰/۵۰۰	.۰/۵۰۰	توان اکتیو یار ۶
.۰/۲۰۰	.۰/۲۰۰	.۰/۲۰۰	.۰/۲۰۰	.۰/۲۰۰	.۰/۲۰۰	توان اکتیو یار ۷
.۰/۰۰۰	.۰/۰۰۰	.۰/۰۰۰	.۰/۰۰۰	.۰/۰۰۰	.۰/۰۰۰	توان اکتیو یار ۸
.۰/۰۰۰	.۰/۰۰۰	.۰/۰۰۰	.۰/۰۰۰	.۰/۰۰۰	.۰/۰۰۰	توان راکتیو یار ۱
.۰/۰۵۰	.۰/۰۵۰	.۰/۰۵۰	.۰/۰۳۹	.۰/۰۵۰	.۰/۰۵۰	توان راکتیو یار ۲
.۰/۰۰۰	.۰/۰۰۰	.۰/۰۰۰	.۰/۰۰۰	.۰/۱۳۰	.۰/۱۳۰	توان راکتیو یار ۳
.۰/۰۰۰	.۰/۰۰۰	.۰/۰۰۰	.۰/۰۰۰	.۰/۰۰۰	.۰/۰۰۰	توان راکتیو یار ۴
.۰/۱۹۵	.۰/۲۲۲	.۰/۱۸۰	.۰/۱۵۳	.۰/۱۸۰	.۰/۱۸۰	توان راکتیو یار ۵
.۰/۰۵۰	.۰/۰۲۷	.۰/۰۵۰	.۰/۰۳۰	.۰/۰۵۰	.۰/۰۵۰	توان راکتیو یار ۶
.۰/۱۰۰	.۰/۱۰۰	.۰/۱۰۰	.۰/۱۰۰	.۰/۱۰۰	.۰/۱۰۰	توان راکتیو یار ۷
.۰/۰۰۰	.۰/۰۰۰	.۰/۰۰۰	.۰/۰۰۰	.۰/۰۰۰	.۰/۰۰۰	توان راکتیو یار ۸
۱/۱۱۵	۱/۱۰۰	۱/۱۲۸	۱/۰۶۷	۱/۰۹۰	۱/۰۹۰	اندازه ولتاژ شین ۱
۱/۰۶۶	۱/۰۲۸	۱/۰۴۷	۰/۹۵۱	۱/۰۲۹	۱/۰۵۵	اندازه ولتاژ شین ۲
۱/۰۲۷	۱/۰۳۶	۱/۰۵۷	۰/۹۹۹	۰/۸۷۶	۰/۹۸۷	اندازه ولتاژ شین ۳
۱/۰۳۸	۱/۰۳۸	۱/۰۳۸	۰/۹۹۵	۰/۹۱۶	۱/۰۰۳	اندازه ولتاژ شین ۴
۱/۰۳۹	۱/۰۳۹	۱/۰۶۲	۱/۰۴۹	۰/۸۳۱	۰/۹۷۲	اندازه ولتاژ شین ۵
۰/۹۵۷	۰/۹۶۴	۰/۹۷۱	۰/۹۵۲	۰/۸۵۹	۰/۹۷۴	اندازه ولتاژ شین ۶
۱/۰۴۸	۱/۰۰۱	۱/۰۱۶	۰/۹۰۹	۱/۰۱۰	۱/۰۱۰	اندازه ولتاژ شین ۷
۱/۱۱۵	۱/۱۰۰	۱/۱۲۱	۱/۰۳۴	۱/۰۸۰	۱/۰۸۰	اندازه ولتاژ شین ۸
.۰/۰۰۰	.۰/۰۰۰	.۰/۰۰۰	.۰/۰۰۰	.۰/۰۰۰	.۰/۰۰۰	زاویه ولتاژ شین ۱
۱۴/۱۱۶	۸/۱۰۵	۱۴/۶۱۴	۸/۹۹۵	۲۷/۱۹۶	۱۰/۸۰۲	زاویه ولتاژ شین ۲
۴/۸۹۹	۲/۶۷۴	۴/۸۲۳	۲/۶۰۹	۴/۲۴۸	-۱/۳۴۹	زاویه ولتاژ شین ۳
۲/۵۲۹	۰/۹۸۳	۲/۶۴۲	۰/۹۲۱	۳/۹۵۵	۰/۳۰۰	زاویه ولتاژ شین ۴
-۱۳/۳۹۷	-۱۲/۳۶۵	-۱۲/۴۲۱	-۱/۰۳۱۶	-۱/۶/۳۲۶	-۴/۶۹۴	زاویه ولتاژ شین ۵
-۸/۵۰۸	-۷/۸۴۴	-۷/۹۸۷	-۶/۵۱۱	-۹/۴۳۱	-۵/۲۸۲	زاویه ولتاژ شین ۶
۱۳/۷۱۴	۸/۱۲۴	۱۴/۷۷۱	۸/۲۴۰	۲۹/۸۷۹	۱۶/۷۲۹	زاویه ولتاژ شین ۷
۱۸/۶۰۹	۱۲/۲۹۱	۱۸/۵۲۴	۱۳/۶۶۲	۲۸/۲۹۳	۷/۷۲۹	زاویه ولتاژ شین ۸
۴۹/۸۷۷	۴۹/۹۹۵	۴۹/۸۰۸	۴۹/۸۸۴	۴۹/۶۵۶	۵۰/۰۰۰	فرکانس شبکه (HZ)
۱/۱۵۰	۱/۱۵۰	۱/۱۵۰	۱/۱۵۰	۱/۰۵۰	۱/۰۵۰	اندازه تپ ترانس ۱
۱/۰۰۲	۱/۰۰۲	۱/۰۳۳	۱/۰۱۵	۱/۰۰۰	۱/۰۰۰	اندازه تپ ترانس ۲
۲	۳	۲	۳	-	-	تعداد تکرار
۹۴/۵۲۵	۱۱۶/۹۸۳	۹۴/۵۳۶	۱۱۲/۵۳۵	-	-	مقدار تابع هدف
-	-	-	-	ولتاژشین ۳ تا ۶	ولتاژشین ۳ تا ۶	حالتهای اضطراری شبکه
				پایداری خط ۷/۶	پایداری خط ۷/۶	
				فرکانس شبکه	فرکانس شبکه	
				توان راکتیو ژنراتور ۱	توان راکتیو ژنراتور ۱	

محدودیتهای موجود در سیستمهای قدرت از قطعیت مناسبی برخوردار نیستند، در نتیجه استفاده از برنامه‌ریزی فازی روش مناسبی به نظر می‌رسد.

نتایج شبیه سازی روش پیشنهاد شده نشان می‌دهد که روش حل فازی از قابلیت و انعطاف بیشتری نسبت به روش حل قطعی برخوردار است. به عبارت دیگر، با ایجاد محیط فازی برای مسئله بهینه سازی بارزدایی و جابه‌جایی تولید می‌توان رفتار عملی سیستمهای قدرت را به طور مناسبتری بیان کرد. همچنین از نتایج شبیه سازی چنین می‌توان نتیجه گرفت که مقادیرتابع هدف در روش بهینه سازی فازی (همراه با ضریبهای قطعی)، کمتر از بهینه سازی قطعی است. این نتیجه نشان می‌دهد که استفاده از بهینه سازی فازی در مسئله مورد نظر، روش کاربردی عملی‌تری را برای کنترل شرایط اضطراری ارائه می‌دهد.

### قدرتانی

بدین وسیله از داوران محترم مقاله که با نظریات اصلاحی خود باعث ارتقاء کیفی مقاله شده اند سپاسگزاری می‌شود.



شکل ۵ - سیستم آزمون هشت شینه

۹۴/۵۲۵ کاهش می‌یابد که مزیت بهینه سازی فازی را نسبت به بهینه سازی قطعی بیان می‌کند.

### ۷ - نتیجه گیری

در این مقاله، بهینه سازی بارزدایی و جابه‌جایی تولید بر اساس روش جدیدی که با استفاده از برنامه‌ریزی خطی فازی است، پیشنهاد شده است. با توجه به این مطلب که در مسئله بهینه سازی مذکور، کلیه ضریبهای تابع هدف و قیدها و اکثر کرانه‌های

### واژه‌نامه

1. load shedding and generation reallocation	programming	11. possibility of dominance
2. crisp optimization	7. trapezoidal membership function	12. degree of satisfaction
3. fuzzy optimization	8. goal	13. fractional programming
4. rated regulation	9. increasing left-hand side	14. quadratic function
5. dispatching center	10. decreasing right-hand side	15. fuzzy environment
6. multi-objective fuzzy linear		16. feasible solution

### مراجع

- هوشمند، ر. و سیفی، ح.، "بهینه سازی بارزدایی به همراه جابه‌جایی تولید در شبکه‌های قدرت،" مجموعه مقالات سومین کنفرانس مهندسی برق ایران، ص ۱۸۵-۱۹۳، اردیبهشت ۱۳۷۴.
- Palaniswamy, K. A., and Sharma, J., "Optimum Load Shedding Taking into account of Voltage and Frequency Characteristic of Loads," *IEEE Trans*, Vol. PAS-104, No. 6, pp. 1342-1348, June 1985.

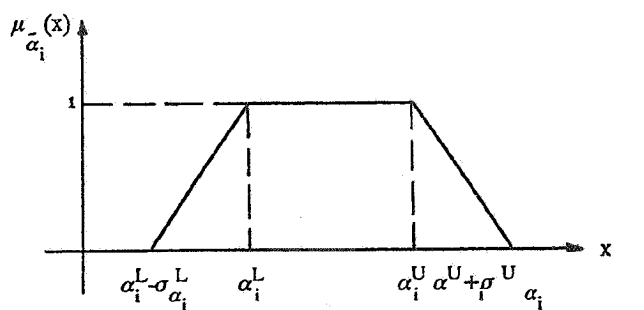
- Bui, R. T., and Ghaderpanah, S., "Real Power Rescheduling and Security Assessment," *IEEE Trans*, Vol. PAS-101, No. 8, pp. 2906-2915, August 1982.
- Medicherla, T. K. P., Billinton, R., and Sachdev, M.S., "Generation Rescheduling and Load Shedding to Alleviate Line over Loads-Analysis," *IEEE Trans*, Vol. PAS-98, No. 6, pp. 1876-1884,

Nov./Dec. 1979.

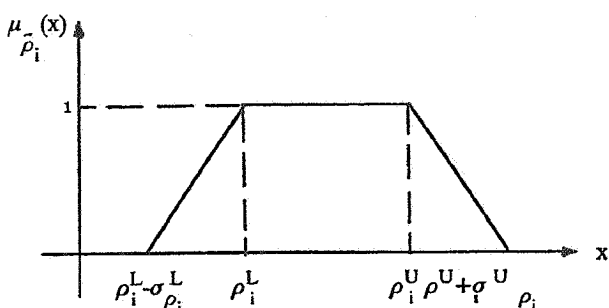
5. Chan, S. M., and Schweppe, F.C., "A Generation Reallocation and Load Shedding Algorithm," *IEEE Trans*, Vol. PAS-98, No. 1, pp. 1876-1884, Jan./Feb. 1979.
6. Roubens, M., and Teghem, T.J., "Comparison of Methodologies for Fuzzy and Stochastic Multi-Objective Programming," *Fuzzy Sets and Systems* 42, pp. 119-132, 1991.
7. Zadeh, L. A., "Fuzzy sets," *Information and Control* 8, pp. 338-353, 1965.
8. Bellman, R., and Zadeh, L. A., "Decision Making in a Fuzzy Environment," *Management Science* 17, pp. 141-164, 1970.
9. Zimmermann, H. J., "Fuzzy Programming and Linear Programming with Several Objective Function," *Fuzzy Sets and Systems* 1, pp. 45-55, 1978.
10. Carlsson, C., and Korhonen, P., "A Parametric

Approach to Fuzzy Linear Programming," *Fuzzy Sets and Systems* 20, pp. 17-30, 1986.

11. Slowinski, R., "A Multicriteria Fuzzy Linear Programming Method for Under Supply System Development Planning," *Fuzzy Sets and Systems* 19, pp. 217-237, 1986.
12. Rommelfanger, H., "Interactive Decision Making in Fuzzy Linear Optimization Problems," *European Journal of Operational Research* 41, pp. 210-217, 1989.
13. Dubois, D., and Prade, H., *Fuzzy Sets and Systems-Theory and Application*, New York, 1980.
14. Okamura, M., O-ura, Y., Hayashi, S., Uemura, K., and Ishiguro, F., "A New Power Flow Model and Solution Method-Including Load and Generator Characteristics and Effects of System Control Devices," *IEEE Trans*, Vol. PAS-94, No. 3, pp. 1042-105, May/June 1975.



شكل ٦ - تابع عضويت عدد فازي  $\tilde{\alpha}_i$



شكل ٧ - تابع عضويت عدد فازي  $\tilde{\rho}_i$

پيوست الف: تعين تابع عضويت  $\tilde{\rho}_i$  تا  
تابع عضويت  $\tilde{\alpha}_i$  (مشخص شده توسيط تصميم گيرنده) را بر  
اساس شكل (٤) در نظر بگيريد. حال با درنظر گرفتن اينكه در شكل  
(٤) مقادير  $\gamma_i = \beta_i = ٠/٥$  داشته باشيم آنگاه تابع عضويت  $\tilde{\rho}_{i\gamma}$   
و  $\tilde{\rho}_i$  که شيب دو تکه خط سمت راست شكل (٤) است به صورت  
زير محاسبه مى شوند (شكلي (٧) را ببینيد):

$$\left\{ \begin{array}{l} \rho_{i\gamma}^L = \frac{1}{2} \cdot \alpha_i^L \cdot \Delta P_i^{\max} \\ \rho_{i\gamma}^U = \frac{1}{2} \cdot \alpha_i^U \cdot \Delta P_i^{\max} \\ \sigma_{\rho_{i\gamma}}^L = \frac{1}{2} \cdot \sigma_{\alpha_i}^L \cdot \Delta P_i^{\max} \\ \sigma_{\rho_{i\gamma}}^U = \frac{1}{2} \cdot \sigma_{\alpha_i}^U \cdot \Delta P_i^{\max} \end{array} \right. \quad (٥٠)$$

$$\left\{ \begin{array}{l} \rho_{i\gamma}^L = \frac{3}{2} \cdot \alpha_i^L \cdot \Delta P_i^{\max} \\ \rho_{i\gamma}^U = \frac{3}{2} \cdot \alpha_i^U \cdot \Delta P_i^{\max} \\ \sigma_{\rho_{i\gamma}}^L = \frac{3}{2} \cdot \sigma_{\alpha_i}^L \cdot \Delta P_i^{\max} \\ \sigma_{\rho_{i\gamma}}^U = \frac{3}{2} \cdot \sigma_{\alpha_i}^U \cdot \Delta P_i^{\max} \end{array} \right. \quad (٥١)$$

جدول (۳): اطلاعات خطوط انتقال و ترانسهاي قدرت

شماره خط	شين ابتدا	شين انتها	مقاومت	راكتانس	سوسيپتانس
۱	۶	۵	.۰/۰۰۰	.۰/۳۰۰	.۰/۰۰۰
۲	۴	۳	.۰/۰۳۳	.۰/۰۰۰	.۰/۰۰۰
۳	۱	۶	.۰/۰۵۸	.۰/۰۲۳	.۰/۰۸۰
۴	۱	۴	.۰/۰۷۰	.۰/۰۸۰	.۰/۰۵۰
۵	۴	۶	.۰/۰۹۷	.۰/۰۹۷	.۰/۰۵۰
۶	۵	۸	.۰/۰۲۸۲	.۰/۰۶۰	.۰/۰۸۶
۷	۸	۳	.۰/۰۴۳۰	.۰/۰۶۰	.۰/۰۹۵
۸	۴	۷	.۰/۰۳۵۰	.۰/۰۵۰	.۰/۰۶۰
۹	۸	۲	.۰/۰۵۰	.۰/۰۷۰	.۰/۰۸۰
۱۰	۷	۲	.۰/۰۳۵۰	.۰/۰۶۰	.۰/۰۶۸

جدول (۴): اطلاعات شينهاي شبکه به همراه ضربهای  $c_i$  و  $d_i$ 

$d_i$	$c_i$	ضربيهای ولتاژ	بيشينه ولتاژ	كمينه ولتاژ	ولتاژ شين	ولتاژ بار	توان راكتيو توان اكتيو	توان راكتيو توان اكتيو	توان اكتيو توان اكتيو	ن
۱۷۰/۰	۱۷۰/۰	۱/۱۰	.۰/۹۰	۱/۰۹	.۰/۰۰	.۰/۰۰	.۰/۰۰	.۰/۰۰	.۰/۰۰	۱
۲۰۰/۰	۴۰۰/۰	۱/۱۰	.۰/۹۵	۱/۰۰	.۰/۰۵	.۰/۱۰	.۰/۰۰	.۰/۰۰	.۰/۰۰	۲
۱۱۵/۶	۴۰۰/۰	۱/۱۰	.۰/۹۵	۱/۰۰	.۰/۱۳	.۰/۴۵	.۰/۰۰	.۰/۰۰	.۰/۰۰	۳
۴۰۰/۰	۴۰۰/۰	۱/۱۰	.۰/۹۵	۱/۰۰	.۰/۰۰	.۰/۰۰	.۰/۰۰	.۰/۰۰	.۰/۰۰	۴
۲۴۰/۰	۴۰۰/۰	۱/۱۰	.۰/۹۵	۱/۰۰	.۰/۱۸	.۰/۳۰	.۰/۰۰	.۰/۰۰	.۰/۰۰	۵
۴۰/۰	۴۰۰/۰	۱/۱۰	.۰/۹۵	۱/۰۰	.۰/۰۵	.۰/۵۰	.۰/۰۰	.۰/۰۰	.۰/۰۰	۶
۱۹۰/۰	۳۸۰/۰	۱/۱۰	.۰/۹۰	۱/۰۱	.۰/۱۰	.۰/۲۰	.۰/۰۰	.۰/۰۰	.۰/۸۰	۷
۴۰۰/۰	۴۰۰/۰	۱/۱۰	.۰/۹۰	۱/۰۸	.۰/۰۰	.۰/۰۰	.۰/۰۰	.۰/۰۰	.۰/۹۰	۸

بيشينه آنها  $1/15$  پريونيت انتخاب شده است.

اطلاعات فازی: برای کلیه متغیرهای سیستم، به جز متغیر ولتاژ شينها، بارهای سیستم و تپ ترانسها، تابع عضویت ذوزنقه‌ای شکل انتخاب شده است که به صورت زیر در نظر گرفته شده است:

(۱۰٪ مقدار بيشينه، ۱۰٪ مقدار كمينه، مقدار بيشينه، مقدار كمينه) برای تابع عضویت ولتاژ شينهاي سیستم داریم:  
 (۵٪ مقدار بيشينه، ۵٪ مقدار كمينه، مقدار بيشينه، مقدار كمينه) با توجه به ماهیت فیزیکی بارهای سیستم و تپ ترانسهاي قدرت، حدود بالا و پایین این متغیرها به صورت قطعی در نظر گرفته شده است. همچنین برای ضربهای تابع هدف  $a_i$ ,  $b_i$ ,  $\tilde{a}_i$ ,  $\tilde{b}_i$  و  $d_i$  توابع عضویت به شکل مثلثی فرض شده است (به عبارت دیگر مقادیر كمينه و بيشينه اين ضربهها يکسان‌اند).

برای محاسبه توابع عضویت  $a_i$  و  $\tilde{a}_i$  کافی است که در رابطه‌های فوق به جای  $\Delta P_i^{\max}$  قدر مطلق  $\Delta P_i^{\min}$  را قرار دهیم.

**پیوست ب: اطلاعات سیستم هشت شینه اطلاعات قطعی: سیستم آزمون هشت شینه شکل (۵) دارای سه ژنراتور، دو ترانسفورماتور تپ چنجردار و هشت خط انتقال است. اطلاعات ترانسها و خطوط انتقال در جدول (۳) بیان شده است. اطلاعات شينها، مقادیر كمينه و بيشينه ولتاژ شينها به همراه مقادیر ضربهای  $c_i$  و  $d_i$  در تابع هدف (که در ارتباط با بارهای سیستم‌اند) در جدول (۴) آمده است. در جدول (۵) مقادیر كمينه و بيشينه توان اكتيو و راكتيو ژنراتورها و ضربهای  $a_i$  و  $b_i$  (که در ارتباط با ژنراتورهای سیستم‌اند) بیان شده است. همچنین مقدار كمينه تپ ترانسها ۹/۰ پريونيت، و مقدار**

جدول (۵): محدودیتهای تولیدی ژنراتورها به همراه ضریبهاي  $a_i$  و  $b_i$

تعداد پیشین	کمینه توان راکتیو	بیشینه توان راکتیو	کمینه توان اکتیو	بیشینه توان اکتیو	ضریبهاي تنظیم	ضریبهاي $a_i$	ضریبهاي $b_i$
۱	-۰/۲۰	۱/۰۰	.۰/۳۰	.۱/۵۰	.۰/۰۵	۸/۵	۵/۹
۷	-۰/۲۰	۱/۰۰	.۰/۱۰	.۰/۸۰	.۰/۰۵۰	۱۹/۰	۹۲/۴
۸	-۰/۲۰	۱/۰۰	.۰/۱۰	.۰/۸۰	.۰/۰۵۰	۲۰/۰	۴۲۲/۸